Научная статья

https://doi.org/10.23934/2223-9022-2025-14-1-132-140



Микробиом начальных отделов тонкой кишки у пациентов с тяжёлым острым панкреатитом: пилотное исследование

В.В. Киселев $^1 \boxtimes$, С.И. Кошечкин 2 , А.В. Куренков 1 , В.Е. Одинцова 2 , М.С. Жигалова 1 , А.В. Тях m^3 , С.С. Петриков 1 , 4 , П.А. Ярцев 1

Отделение неотложной хирургии, эндоскопии и интенсивной терапии

- ¹ ГБУЗ «Научно-исследовательский институт скорой помощи им. Н.В. Склифосовского ДЗМ»
- 129090, Российская Федерация, Москва, Большая Сухаревская пл., 3
- ² 000 «Нобиас Технолоджис»
- 127273, Российская Федерация, Москва, ул. Березовая аллея, д. 14Б, с. 2, пом. 2/4
- ³ ФГБУН Институт биологии гена РАН

Москва, Россия, 119334, Российская Федерация, Москва, ул. Вавилова, 34/5

⁴ ФГБОУ ВО «Российский университет медицины» МЗ РФ, Научно-образовательный институт непрерывного профессионального образования им. Н.Д. Ющука

127006, Российская Федерация, Москва, ул. Долгоруковская, д. 4

⊠ **Контактная информация:** Киселев Владимир Валерьевич, кандидат медицинских наук, ведущий научный сотрудник отделения неотложной хирургии, эндоскопии и интенсивной терапии ГБУЗ «НИИ СП им. Н.В. Склифосовского ДЗМ». Email: kiselevvv@sklif.mos.ru

ВВЕДЕНИЕ

Нарушение гомеостаза кишечника является ведущим фактором в патогенезе и прогрессировании системного воспаления у больных с острым тяжёлым панкреатитом. Развитие системных осложнений происходит вследствие как мезентериальной гипоперфузии и дисрегуляции моторики кишечника, так и разрушения кишечного барьера с транслокацией бактериальных тел и их субстратов. Это увеличивает риск развития полиорганной недостаточности и повышения летальности. С появлением методов высокопроизводительного секвенирования образцов микробиома— например, в формате 16S рРНК— возможности исследования структуры микробных сообществ значительно расширились. В связи с этим появляется всё больше свидетельств взаимосвязи состояния здоровья человека и микрофлоры, населяющей различные части его организма.

ЦЕЛЬ ИССЛЕДОВАНИЯ

Описание состава микробиоты начальных отделов тонкой кишки у пациентов с тяжёлым острым панкреатитом.

МАТЕРИАЛ И МЕТОДЫ

В исследование включены 7 пациентов с диагнозом: тяжёлый острый панкреатит (6 мужчин, 1 женщина), средний возраст составил $54,1\pm14,4$ года. Пациенты были разделены на две группы. В 1-ю группу (n=4) вошли пациенты, поступившие на 2-4-е сутки от начала болевого приступа. Во 2-ю группу (n=3) — пациенты, поступившие не позднее 24 часов от начала заболевания. Бактериальный состав образцов смывов из тощей кишки был изучен путём применения 16S PHK-секвенирования. Тяжесть состояния оценивали по интегральным шкалам APACHE II, SOFA, SAPS II. У пациентов основной группы APACHE II составила $22\pm2,83$ балла, SOFA — $6,8\pm0,5$ балла, SAPS II — $32,9\pm6,4$ балла, у пациентов группы сравнения APACHE II равно $18,0\pm3,7$ балла, SOFA — $4,0\pm2,6$ балла, SAPS II — $24,4\pm5,0$ балла.

Забор материала осуществляли в момент установки стерильного многофункционального интестинального катетера за связку Трейтца, не позднее 6 часов от момента поступления в отделение реанимации и интенсивной терапии. На момент проведения забора материала пациенты не получали антибактериальную терапию и энтерального питания.

РЕЗУЛЬТАТЫ

Более тяжёлое течение было ассоциировано со сниженной представленностью в микробиоме видов Nesseria mucosa и Parvimonas micra, населяющих мукозный слой, а также Megasphaera micronuciformis. Доля родов Streptococcus (видов S. rubneri/parasanguinis/australis) и Actinomyces и ряда родов из семейства Enterobacteriaceae у таких пациентов была, наоборот, выше.

Ключевые слова:

кишечный смыв, микробиом, тяжёлый острый панкреатит, солевой энтеральный раствор, кишечный барьер

Ссылка для цитирования

В.В. Киселев, С.И. Кошечкин, А.В. Куренков, В.Е. Одинцова, М.С. Жигалова, А.В. Тяхт и др. Микробиом начальных отделов тонкой кишки у пациентов с тяжёлым острым панкреатитом: пилотное исследование. Журнал им. Н.В. Склифосовского Неотложная медицинская помощь. 2025;14(1):132–140. https://doi.org/10.23934/2223-9022-2025-14-1-132-140

Конфликт интересов

Авторы заявляют об отсутствии конфликта интересов

Благодарность, финансирование

Пробоподготовка, секвенирование и анализ данных образцов микробиома был проведён ООО «Нобиас Технолоджис в ходе коммерческого проекта для ООО «ВнешПромФарм», производителя, солевого энтерального раствора (СЭР)

© В.В. Киселев, С.И. Кошечкин, А.В. Куренков, В.Е. Одинцова, М.С. Жигалова, А.В. Тяхт, С.С. Петриков, П.А. Ярцев М., 2025

ВБД — внутрибрюшное давление

ЖКТ - желудочно-кишечный тракт

ОРИТ — отделение реанимации и интенсивной терапии

ПЖ — поджелудочная железа

СКН — синдром кишечной недостаточности

СЭР — солевой энтеральный раствор

ВВЕДЕНИЕ

Нарушение гомеостаза кишечника является ведущим фактором в патогенезе и прогрессировании системной воспалительной реакции у больных с острым тяжёлым панкреатитом. В свою очередь системные осложнения развиваются как вследствие мезентериальной гипоперфузии и дисрегуляции моторики кишечника, так и разрушения кишечного барьера с транслокацией бактериальных тел и их субстратов. Стоит отметить, что все вышеописанные процессы увеличивают риск развития полиорганной недостаточности, приводя к росту случаев смертельного исхода [1]. С появлением методов высокопроизводительного секвенирования образцов микробиома — например, в формате 16S рРНК — возможности исследования структуры микробных сообществ значительно расширились. В связи с этим появляется всё больше свидетельств взаимосвязи состояния здоровья человека и микрофлоры, населяющей различные части его организма.

Комменсальная микрофлора в тонкой кишке здорового человека составляет приблизительно 103-104 различных видов бактерий. Они незаменимы для переваривания пищевых субстратов, участвуют в генерации вторичных жёлчных кислот, которые способствуют усвоению пищевых липидов и жирорастворимых витаминов [2], оказывают пролиферативное действие на эпителиальные клетки кишечника, способствуют дифференциации энтероцитов, предотвращают колонизацию патогенными микроорганизмами и формируют местный и системный иммунный ответ [3]. В результате ферментации сложных углеводов происходит образование короткоцепочечных жирных кислот, которые служат источником энергии для макроорганизма и оказывают благоприятное воздействие на иммунные клетки [4], пролиферацию, дифференцировку и функцию кишечных эпителиальных клеток [5], участвуют в регуляции обмена веществ [6]. Таким образом, кишечная микробиота и продукты её обмена жизненно важны для гомеостаза кишечника.

Многочисленные клинические и экспериментальные исследования демонстрируют, что ишемия поджелудочной железы (ПЖ) играет важную роль в развитии острого панкреатита и прогрессировании заболевания с дальнейшим развитием панкреонекроза [7–9]. Нарушения микроциркуляции обусловлены снижением капиллярного кровотока в тканях ПЖ на фоне воспаления. Гипотония, связанная с синдромом системного воспалительного ответа, обычно приводит к централизации кровообращения за счёт шунтирования крови из периферических сосудов в магистральный кровоток. В микроциркуляторные нарушения вовлекается тонкая кишка, вследствие чего происходит нейроэндокринная дисрегуляция и эпителиальная дисфункция энтероцитов, которые являются важным источником провоспалительных медиаторов, таких как интерлейкин-17, липидных медиаторов, продуцируемых фосфолипазой А2 и антимикробных пептидов [10, 11]. В то же время увеличение доли патогенных микроорганизмов в микробиоте тонкой кишки приводит к синдрому избыточного бактериального роста и

транслокации микробных субстратов. Бактериальная транслокация и бактериемия приводят к дальнейшей эскалации системного воспаления, а в ряде случаев к развитию сепсиса, септического шока и недостаточности кровообращения с синдромом полиорганной дисфункции [10].

Диагностика и лечение синдрома кишечной недостаточности (СКН) является сложной задачей, так как дисфункция кишечника и недостаточность желудочнокишечного тракта (ЖКТ) развиваются у наиболее тяжёлых пациентов с длительным пребыванием в отделении реанимации и интенсивной терапии (ОРИТ) [12]. Инструментальные методы обнаружения проявлений СКН остаются сложными, а лабораторные маркёры не всегда отражают реальную картину критических событий в тонкой кишке [1, 13-16]. С появлением методов высокопроизводительного секвенирования образцов микробиома — например, в формате 16S рРНК — возможности исследования структуры микробных сообществ значительно расширились. В связи с этим появляется всё больше свидетельств взаимосвязи состояния здоровья человека и микрофлоры, населяющей различные части его организма. ДНК-анализ микробиома предоставляют новые возможности по ранней коррекции нарушений микробиоты кишечника и профилактики развития СКН, в том числе у лиц в критических состояниях.

На данный момент имеются данные о микробиоме толстой кишки у пациентов с различной степенью тяжести панкреатита [16]. Однако более точную картину изменений стоит ожидать в микробиоте тонкой кишки. В данной работе исследуется микробный состав из тощей кишки. Образцы получены у 7 пациентов с острым панкреатитом, протекающим с различной степенью тяжести. В том числе проведено сравнение двух образцов, взятых у одного пациента с разницей в 24 часа на фоне энтеральной инфузии солевым энтеральным раствором (СЭР).

МАТЕРИАЛ И МЕТОДЫ

Набор пациентов и сбор образцов смывов

В исследование были включены 7 пациентов (6 мужчин, 1 женщина, возраст 54,1±14,4 года с тяжёлым острым панкреатитом, подтверждённым компьютерно-томографическими и ультразвуковыми исследованиями. Этиологической причиной развития данного заболевания послужил алкогольный фактор. У всех пациентов отмечалась абдоминальная боль, тошнота, рвота, повышения уровней ферментов ПЖ в сыворотке крови.

Пациенты были разделены на две группы: в первую группу (n=4, основная) вошли пациенты, которые поступили на 2–4-е сутки от начала заболевания (от начала болевого приступа). Во вторую группу (n=3, сравнения) были включены пациенты, поступившие не позднее 24 часов от начала заболевания.

Тяжесть состояния оценивали по *APACHE* II, *SOFA*, *SAPS* II. У пациентов основной группы, поступивших на 2—4-е сутки от начала заболевания, отмечались более высокие показатели по интегральным шкалам тяжес-

ти: APACHE II — $22\pm2,83$ балла, SOFA — $6,8\pm0,5$ балла, SAPS II — $32,9\pm6,4$ балла по сравнению с больными группы сравнения APACHE II $18,0\pm3,7$ балла, SOFA — $4,0\pm2,6$ балла, SAPS II — $24,4\pm5,0$ балла.

У всех обследуемых пациентов был выполнен анализ микробиоты кишечника по образцам смывов из тощей кишки. Отбор материала для исследования осуществляли в момент установки стерильного многофункционального интестинального катетера (патент на полезную модель «Многофункциональный интестинальный катетер», RU 199398 U1, 31.08.2020) за связку Трейтца, не позднее 6 часов от момента поступления в ОРИТ. На момент проведения забора материала пациенты не получали антибактериальную терапию и энтерального питания. Установку зонда с контролем локации и отбор материала выполняли с помощью видеоэндоскопической системы EXERA II SIF-Q180 (Olympus) по оригинальной методике, исключающей контаминацию исследуемого материала микроорганизмами из других биосред (патент на полезную модель «Метод сбора биологической жидкости из тонкой кишки через эндоскопический канал», RU 2738007 С1, 29.04.2020). Всем пациентам исследуемых групп для стимуляции моторики кишечника и энтеральной коррекции микробиоты в интестинальный зонд вводили СЭР для проведения энтеральных инфузий (Патент RU 2 699 22 C1 от 04.09.2019 г.), содержащий в своём составе пектин, инулин и глутамин. В основной группе введение СЭР осуществляли со скоростью 6-10 мл в минуту, в объёме 1500 (±412,3) мл при условии, что внутрибрющное давление (ВБД) не превышало 16-20 мм рт.ст. Измерение ВБД осуществляли по методике, рекомендованной Всемирным обществом по изучению интраабдоминальной гипертензии (WSACS).

Анализ микробиома

Выделение ДНК было произведено с помощью набора DNeasy PowerLyzer Microbial (Qiagen). Подготовка библиотек секвенирования была осуществлена для гипервариабельного региона V4 гена 16S рРНК, как описано в медицинской периодике [17]. Секвенирование было проведено на платформе Illumina MiSeq. Обработка данных секвенирования (ридов) была проведена в онлайн-системе Кномикс-Биота [18]. Полный таксономический состав микробиома каждого образца был получен с применением алгоритма DADA2 [19]. Уточнение таксономической классификации для наиболее представленных ДНК-последовательностей проводили с помощью алгоритма BLAST по базе NCBI nr (https://blast.ncbi.nlm.nih.gov/Blast.cgi). В случае, если последовательность с полной идентичностью картировалась на несколько таксонов, то все они указывались в названии (например, Streptococcus rubneri/ parasanguinis/australis). Таксономический состав оценивали по непрореженным данным. Альфа-разнообразие микробиоты было получено после 5-кратного случайного прореживания до 3000 ридов и усреднения результатов. Расстояние между образцами было оценено с помощью с помощью расстояния Эйтчисона на непрореженных данных.

Для определения степени загрязнения образцов в ходе секвенирования было проведено сравнение таксономического состава образцов с тремя образцами отрицательного контроля. В целом загрязнение оказалось незначительным. Из состава образцов были исключены таксоны, хорошо представленные в отри-

цательном контроле и при этом мало представленные в исследуемых образцах. Некоторые из таксонов, присутствующих в отрицательном контроле, были оставлены в дальнейшем анализе, так как в литературе описана возможность их присутствия в составе кишечной микробиоты. Наличие их в микробиоте пациентов с острым панкреатитом будет проверено в последующих исследованиях с более крупной выборкой.

Для того, чтобы описать различия между группами, был дополнительно проведён анализ в среде разработке R [20]. К представленностям таксонов было применено clr-преобразование [21]. При таком подходе рассматриваются не доли каждой бактерии в микробном сообществе, а их отношения к некой усреднённой доле микробов в образце в логарифмической шкале. Этот подход позволяет более корректно оценивать различия между образцами [22]. Учитывались только те бактерии, которые присутствовали во всех образцах хотя бы одной из групп. Замену нулевых значений представленности проводили с помощью функции cmultRepl библиотеки zCompositions [23]. Для того чтобы оценить, какие таксоны наибольшим образом различались между группами, были выбраны бактерии, представленность которых во всех образцах одной группы была больше, чем представленность в образцах другой группы. Для сравнения представленности таксонов в двух образцах одного пациента использовали тест Фишера с поправкой на множественное сравнение Бенджамини-Хохберга. Анализ проводили на уровнях родов и уникальных прочтений. Таксономия прочтений затем была уточнена до видов с помощью алгоритма BLAST по базе NCBI nr.

РЕЗУЛЬТАТЫ

Описание микробного состава смывов тощей кишки

Таксономический состав образцов представлен на рис. 1, S1. Наиболее многочисленны в микробиоте были стрептококки. Они представлены широким набором видов, в том числе Streptococcus oralis/cristatus/mitis/infantis/gordonii, rubneri/parasanguinis/australis, anginosus, mutans, thermophilus/salivarius/vestibularis и близкородственных неклассифицированных видов. Они принадлежат к нормофлоре верхних отделов ЖКТ человека, в том числе тонкой кишки [24]. Большинство из них относится к группе S. mitis. В некоторых исследованиях снижение антител к S. mitis в плазме крови, а также уменьшенная представленность самой бактерии в слюне была ассоциирована с раком ПЖ [25].

Во всех образцах присутствовали неклассифицированные представители семейства Gemellaceae. Их таксономическая принадлежность была уточнена как виды Gemella taiwanensis/parahaemolysans/sanguinis/ morbillorum/haemolysans. Эти виды принадлежат к нормофлоре тонкой кишки [24].

Также во всех образцах наблюдались рода Peptostreptococcus и Solobacterium. Согласно базе NCBI они представлены видами P. stomatis и Solobacterium moorei. Их повышенная представленность в стуле ассоциирована с колоректальным раком [26].

Род Haemophilus был представлен видами H. haemolyticus и parainfluenzae. Haemophilus haemolyticus-ассоциированный с хронической обструктивной болезнью лёгких возбудитель инфекции верхних дыхательных путей [27], но в отдельных случаях был выделен из крови у пациентов с бактериемией [28]. H. parainfluenzae

в основном является возбудителем инфекции лёгких и верхних дыхательных путей, способен вызвать бактериемию и инфекционный эндокардит. Также был обнаружен при изучении микробиоты кишечника у больных с различными заболеваниями, в том числе с синдромом раздраженного кишечника [29] и раком желудка [30]. Род *Наеторhilus* присутствовал в небольшом количестве в отрицательном контроле.

В числе таксонов с высокой представленностью был род *Corynebacterium* — в одном из образцов группы сравнения его доля составляла 36,9%. Детекция была уточнена как *C. argentoratense* или близкородственная бактерия. Это микроб, найденный изначально в верхних дыхательных путях [31], а затем в других частях тела, в том числе при инфекциях [32].

Также у нескольких пациентов наблюдались неклассифицированные представители семейства *Enterobacteriaceae*; хотя соответствующий им участок гена не позволял однозначно идентифицировать таксон до уровня рода, известно, что это семейство включает среди прочих такие условные патогены, как *Escherichia/Shigella* и *Klebsiella*.

У пациентов наблюдались также такие представители нормофлоры, как Rothia (в том числе mucilaginosa и dentocariosa), Granulicatella, Parvimonas, Veilonella и Actinomyces (уточнена как A. odontolyticus).

Индекс Шеннона варьировал от 2,73 до 4,4 (рис. 2). Он характеризует равномерность представленности различных таксонов в микробиоте. Индекс *Chao*1, характеризующий разнообразие микробиоты и представленность в ней редких видов, варьировал от 72,32 до 132,01. Расстояние Эйтчисона между образцами варьировало от 5,46 до 21,56.

Микробиота кишечных смывов связана с клиническим статусом

Микробный состав смывов также отличался между основной группой и группой сравнения. Среди наиболее распространённых микробов наибольшие отличия в представленности между основной и группой сравнения наблюдались у Streptococcus rubneri/parasanguinis/ australis: у пациентов основной группы его доля была выше (рис. 3). Эти виды относятся к группе S. mitis и являются частью нормальной флоры кишечника и ротовой полости. Однако стрептококки этой группы, попадая в кровоток, могут вызывать бактериемию, эндокардит и другие заболевания [33]. В основной группе также были более представлены условно патогенные таксоны Actinomyces [34] и Escherichia/Shigella (или близкородственные Brenneria/Pseudescherichia). Среди бактерий, доля которых снижена в образцах основной группы, были бактерии Neisseria mucosa, обитающая в слизистой оболочке кишечника [35], и Parvimonas micra, деградирующая муцин [36, 37]. Также была снижена представленность Megasphaera micronuciformis (рис. 3) [38, 39].

Сравнение двух образцов у пациента основной группы до и после введения солевого энтерального раствора

У одного из пациентов основной группы было взято два образца. Первый был получен при эндоскопической установке многофункционального кишечного катетера. Повторное взятие проводили через 24 часа во время повторного заведения из-за дислокации первоначально установленного катетера.

В этой выборке численность таксонов, перечисленных в предыдущем разделе, была ближе к числен-

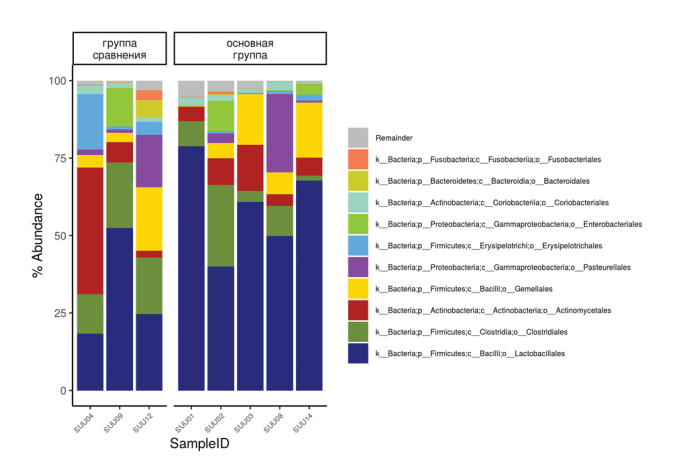
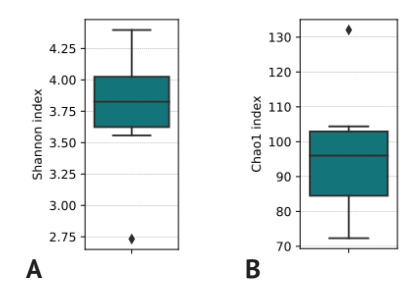


Рис. 1. Таксономический состав образцов на уровне порядка. Образец SUU02 является второй пробой одного из пациентов основной группы. Первый образец этого пациента — SUU01

Fig. 1. Taxonomic composition of samples at the order level. Sample SUU 02 is the second sample of one of the patients of the main group. The first sample of this patient is SUU 01



Рис. S1. Тепловая карта представленности таксонов (до ручного удаления ридов отрицательного контроля)
Fig. S1. Heat map of taxa abundance (before manual removal of negative control reads)



index; B - Chao1 index

Рис. 2. Альфа-разнообразие у пациентов с острым панкреатитом: A — индекс Шеннона; B — индекс Chao 1 Fig. 2. Alpha diversity in patients with acute pancreatitis: A — Shannon

ности в выборках группы сравнения, чем к значениям для выборок основной группы (рис. 3). Parvimonas micra, Neisseria mucosa и Megasphaera micronuciformis не выявлены в первой пробе больного и обнаружены в заметном количестве во второй (N. mucosa—0,34%, P. micra—0,43%, M. micronuciformis—1,3%). Снизилась относительная численность Streptococcus Rubneri/parasanguinis/australis (с 24,58 до 2,93%), а также доля всего рода Streptococcus (с 46,09 до 34,73%), рода Actinomyces (с 3,69 до 2,45%) и Escherichia/Shigella/Brenneria/Pseudescherichia (от 0,36 до 0%). Чтобы исключить возможность того, что обнаруженная разница была обусловлена вариабельностью глубины секвенирования образцов, для каждой из бактерий был проведён точный тест Фишера. Результаты теста под-

тверждают, что различия между двумя образцами не являются произвольными (p<0,05).

Что касается бета-разнообразия (расстояния Эйтчисона), то данные второго образца также оказалась ближе к группе сравнения, чем к основной (рис. 4) и были больше похожи на образцы пациентов с меньшей степенью тяжести, чем на первую пробу испытуемого.

ЗАКЛЮЧЕНИЕ

В ходе проведённого исследования в образцах смывов были найдены в основном микробы, выявленные в других исследованиях микробиоты различных отделов тонкой кишки. Многие из эти микробов определяются также в ротовой полости и толстой кишке. Хотя эти бактерии являются комменсальными, попадая в кровоток, они могут вызывать бактериемию и инфекционно-бактериальные осложнения органов-мишеней. Несколько бактерий были выявлены в образцах как смыва, так и отрицательного контроля. Их наличие в микробиоте пациентов с тяжёлым острым панкреатитом должно быть проверено в дальнейших исследованиях с большим размером выборки.

Сравнение пациентов с различной степенью тяжести течения болезни указывает на снижение доли бактерий, обитающих в слизистой оболочке, у пациентов с более высокими баллами согласно интегральным шкалам тяжести. Это может быть свидетельством связи осложнений острого панкреатита с уменьшением мукозного слоя. Такое уменьшение потенциально может приводить к снижению защитной функций кишечника, а при развитии реперфузии — к бактериальной транслокации через повреждённые структуры стенки кишки и развитию системных осложнений.

Это исследование — пилотное. Для проверки его результатов планируется провести исследование на расширенной выборке. Необходимо также исследовать микробиоту тощей кишки здоровых людей для того, чтобы иметь возможность оценить изменения, вызванные острым панкреатитом. Однако результаты пилотного исследования показывают, что методика в целом валидна.

выводы

- 1. Полученные результаты свидетельствуют о том, что изучение микробиома тонкой кишки у пациентов с тяжёлым острым панкреатитом может иметь решающее значение для расширенного понимания как нормальных, так и патологических процессов верхних отделов желудочно-кишечного тракта, которые являются основополагающими в развитии органной дисфункции.
- 2. Более тяжёлое течение тяжёлого острого панкреатита ассоциировано со сниженной представленностью в микробиоме видов Nesseria mucosa и Parvimonas micra, населяющих мукозный слой, а также Megasphaera micronuciformis, что может свидетельствовать о дисфункции эпителиальных клеток кишечника на ранних этапах развития тяжёлого острого панкреатита.

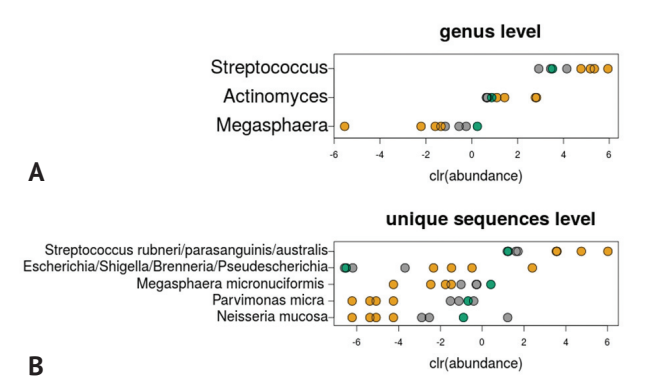


Рис. 3. Clr-преобразованная представленность отдельных (A) родов, (B) уникальных последовательностей. Образцы участников основной группы обозначены жёлтым цветом, образцы группы сравнения — серым. Зелёным цветом выделен образец SUU02, взятый повторно у пациента из основной группы

Fig. 3. Clr-transformed abundance of individual (A) genera, (B) unique sequences. Samples from participants in the main group are shown in yellow, samples from the comparison group are shown in gray. Sample SUU 02, taken again from a patient from the main group, is shown in green

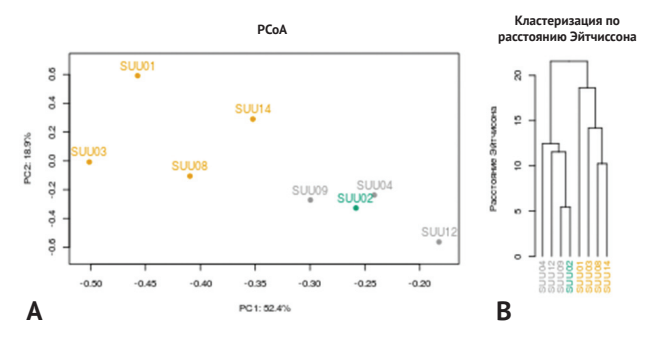


Рис. 4. Визуализация анализа бета-раззнообразия (расстояния Эйтчисона между образцами): А— с помощью анализа главных компонент в clr-координатах; В— с помощью кластеризации образцов по расстоянию между ними. Образцы участников основной группы обозначены жёлтым цветом, образцы группы сравнения— серым. Зелёным цветом выделен образец SUU02, взятый повторно у пациента из основной группы

Fig. 4. Visualization of beta diversity analysis (Aitchison distance between samples): A — using principal component analysis in clr-coordinates, B — using clustering of samples by the distance between them. Samples from participants in the main group are shown in yellow, samples from the comparison group are shown in gray. Sample SUU 02, taken again from a patient from the main group, is shown in green

- 3. Снижение доли бактерий, обитающих в слизистой оболочке, у пациентов с более тяжёлым течением заболевания представляет научно-практический интерес и требует дальнейшего изучения на расширенной когорте больных с тяжёлым острым панкреатитом.
- 4. Проведение специфической энтеральной терапии вероятно может оказывать протективное действие на эпителиоциты кишечника и предотвращать дальнейшее прогрессирование синдрома избыточного бактериального роста и кишечной недостаточности.

список источников

- 1. Дибиров М.Д., Исаев А.И., Джаджиев А.Б., Ашимова А.И., Атаев Т. Роль коррекции синдромов кишечной недостаточности и внутрибрюшной гипертензии в профилактике инфицирования панкреонекроза. *Хирургия. Журнал им. Н.И. Пирогова.* 2016;(8):67–72. https://doi.org/10.17116/hirurgia2016867-72
- Rowland I, Gibson G, Heinken A, Scott K, Swann J, Thiele I, et al. Gut microbiota functions: metabolism of nutrients and other food components. Eur J Nutr. 2018;57(1):1–24. PMID: 28393285 https://doi. org/10.1007/s00394-017-1445-8
- Yu LC. Microbiota dysbiosis and barrier dysfunction in inflammatory bowel disease and colorectal cancers: exploring a common ground hypothesis. *J Biomed Sci.* 2018;25(1):79. PMID: 30413188 https://doi. org/10.1186/s12929-018-0483-8
- 4. Yu LC, Wang JT, Wei SC, Ni YH. Host-microbial interactions and regulation of intestinal epithelial barrier function: From physiology to pathology. *World J Gastrointest Pathophysiol*. 2012;3(1):27–43. PMID: 22368784 https://doi.org/10.4291/wjgp.v3.i1.27
- Rooks MG, Garrett WS. Gut microbiota, metabolites and host immunity. Nat Rev Immunol. 2016;16(6):341–352. PMID: 27231050 https://doi. org/10.1038/nri.2016.42
- Koh A, De Vadder F, Kovatcheva-Datchary P, Bäckhed F. From Dietary Fiber to Host Physiology: Short-Chain Fatty Acids as Key Bacterial Metabolites. *Cell.* 2016;165(6):1332–1345. PMID: 27259147 https://doi. org/10.1016/j.cell.2016.05.041.
- Grootjans J, Lenaerts K, Buurman WA, Dejong CH, Derikx JP. Life and death at the mucosal-luminal interface: New perspectives on human intestinal ischemia-reperfusion. World J Gastroenterol. 2016;22(9):2760– 2770. PMID: 26973414 https://doi.org/10.3748/wjg.v22.i9.2760
- Ji Y, Luo X, Yang Y, Dai Z, Wu G, Wu Z. Endoplasmic reticulum stressinduced apoptosis in intestinal epithelial cells: a feed-back regulation by mechanistic target of rapamycin complex 1 (mTORC1). *J Anim Sci Biotechnol*. 2018;9:38. PMID: 29744053 https://doi.org/10.1186/s40104-018-0253-1
- Schellekens DH, Hundscheid IH, Leenarts CA, Grootjans J, Lenaerts K, Buurman WA, et al. Human small intestine is capable of restoring barrier function after short ischemic periods. World J Gastroenterol. 2017;23(48):8452–8464. PMID: 29358855 https://doi.org/10.3748/wjg. v23.i48.8452
- Manohar M, Verma AK, Venkateshaiah SU, Sanders NL, Mishra A. Pathogenic mechanisms of pancreatitis. World J Gastrointest Pharmacol Ther. 2017;8(1):10–25. PMID: 28217371 https://doi.org/10.4292/wjgpt. v8.i1.10
- Lin R, Chen F, Wen S, Teng T, Pan Y, Huang H. Interleukin-10 attenuates impairment of the blood-brain barrier in a severe acute pancreatitis rat model. *J Inflamm (Lond)*. 2018;15:4. PMID: 29497350 https://doi. org/10.1186/s12950-018-0180-0
- Sertaridou E, Papaioannou V, Kolios G, Pneumatikos I. Gut failure in critical care: old school versus new school. *Ann Gastroenterol*. 2015;28(3):309–322. PMID: 26130136
- Reintam Blaser A, Malbrain ML, Starkopf J, Fruhwald S, Jakob SM, De Waele J, et al. Gastrointestinal function in intensive care patients: terminology, definitions and management. Recommendations of the ESICM Working Group on Abdominal Problems. *Intensive Care Med*. 2012;38(3):384–394. PMID: 22310869 https://doi.org/10.1007/s00134-011-2459-v
- Schmidt PN, Roug S, Hansen EF, Knudsen JD, Novovic S. Spectrum of microorganisms in infected walled-off pancreatic necrosis – impact on organ failure and mortality. *Pancreatology*. 2014;14(6):444–449. PMID: 25266641 https://doi.org/10.1016/j.pan.2014.09.001
- 15. Xiao H, Huang JH, Zhang XW, Ahmed R, Xie QL, Li B, et al. Identification of potential diagnostic biomarkers of acute pancreatitis by serum metabolomic profiles. *Pancreatology*. 2017;17(4):543–549. PMID: 28487129 https://doi.org/10.1016/j.pan.2017.04.015.
- Yu S, Xiong Y, Fu Y, Chen G, Zhu H, Mo X, et al. Shotgun metagenomics reveals significant gut microbiome features in different grades of acute pancreatitis. *Microb Pathog*. 2021;154:104849. PMID: 33781869 https:// doi.org/10.1016/j.micpath.2021.104849.
- Andrianova NV, Popkov VA, Klimenko NS, Tyakht AV, Baydakova GV, Frolova OY, et al. Microbiome-Metabolome Signature of Acute Kidney Injury. *Metabolites*. 2020;10(4):142. PMID: 32260384 https://doi. org/10.3390/metabo10040142
- Efimova D, Tyakht A, Popenko A, Vasilyev A, Altukhov I, Dovidchenko N, et al. Knomics-Biota – a system for exploratory analysis of human gut microbiota data. *BioData Min*. 2018;11:25. PMID: 30450127 https://doi. org/10.1186/s13040-018-0187-3
- Callahan BJ, McMurdie PJ, Rosen MJ, Han AW, Johnson AJ, Holmes SP. DADA2: High-resolution sample inference from Illumina amplicon data. *Nat Methods*. 2016;13(7):581–583. PMID: 27214047 https://doi. org/10.1038/nmeth.3869

- Horton NJ, Kleinman K. Using R and RStudio for Data Management, Statistical Analysis, and Graphics. New York: ImprintChapman and Hall/ CRC; 2015. https://doi.org/10.1201/b18151
- 21. Aitchison J. *The Statistical Analysis of Compositional Data*. London: Chapman and Hall; 1986. https://doi.org/10.1007/978-94-009-4109-0
- Gloor GB, Macklaim JM, Pawlowsky-Glahn V, Egozcue JJ. Microbiome Datasets are Compositional: and This is Not Optional. Front Microbiol. 2017;8:2224. PMID: 29187837 https://doi.org/10.3389/ fmicb.2017.02224
- Palarea-Albaladejo J, Martín-Fernández JA. ZCompositions R package for multivariate imputation of left-censored data under a compositional approach. *Chemometrics and Intelligent Laboratory Systems*. 2015;143:85– 96. https://doi.org/10.1016/j.chemolab.2015.02.019.
- Villmones HC, Haug ES, Ulvestad E, Grude N, Stenstad T, Halland A, et al. Species Level Description of the Human Ileal Bacterial Microbiota. Sci Rep. 2018;8(1):4736. PMID: 29549283 https://doi.org/10.1038/ s41598-018-23198-5
- 25. Akshintala VS, Talukdar R, Singh VK, Goggins M. The Gut Microbiome in Pancreatic Disease. *Clin Gastroenterol Hepatol*. 2019;17(2):290–295. PMID: 30144522 https://doi.org/10.1016/j.cgh.2018.08.045
- 26. Yu J, Feng Q, Wong SH, Zhang D, Liang QY, Qin Y, et al. Metagenomic analysis of faecal microbiome as a tool towards targeted non-invasive biomarkers for colorectal cancer. *Gut.* 2017;66(1):70–78. PMID: 26408641 https://doi.org/10.1136/gutjnl-2015-309800.
- 27. Osman KL, Jefferies JMC, Woelk CH, Devos N, Pascal TG, Mortier MC, et al. Patients with Chronic Obstructive Pulmonary Disease harbour a variation of Haemophilus species. *Sci Rep.* 2018;8(1):14734. PMID: 30282975 https://doi.org/10.1038/s41598-018-32973-3
- 28. Morton DJ, Hempel RJ, Whitby PW, Seale TW, Stull TL. An invasive Haemophilus haemolyticus isolate. *J Clin Microbiol*. 2012;50(4):1502–1503. PMID: 22301029 https://doi.org/10.1128/JCM.06688-11
- Saulnier DM, Riehle K, Mistretta TA, Diaz MA, Mandal D, Raza S, et al. Gastrointestinal microbiome signatures of pediatric patients with irritable bowel syndrome. *Gastroenterology*. 2011;141(5):1782–1791. PMID: 21741921 https://doi.org/10.1053/j.gastro.2011.06.072
- Dong Z, Chen B, Pan H, Wang D, Liu M, Yang Y, et al. Detection of Microbial 16S rRNA Gene in the Serum of Patients With Gastric Cancer. Front Oncol. 2019;9:608. PMID: 31338330 https://doi.org/10.3389/ fonc.2019.00608
- 31. Riegel P, Ruimy R, De Briel D, Prevost G, Jehl F, Bimet F, et al. Corynebacterium argentoratense sp. nov., from the human throat. *Int J Syst Bacteriol*. 1995;45(3):533–537. PMID: 8590681 https://doi.org/10.1099/00207713-45-3-533.
- 32. Fernández-Natal I, Sáez-Nieto JA, Rodríguez-Lázaro D, Valdezate-Ramos S, Parras-Padilla T, Medina MJ, et al. Phenotypic, molecular characterization, antimicrobial susceptibility and draft genome sequence of Corynebacterium argentoratense strains isolated from clinical samples. New Microbes New Infect. 2016;10:116–121. PMID: 26933505 https://doi.org/10.1016/j.nmni.2016.01.007
- 33. Chhatwal GS, Graham R. Streptococcal Diseases. In: Quah SR (ed.). International Encyclopedia of Public Health. 2nd ed. Academic Press, 2017. pp. 87–97. https://doi.org/10.1016/B978-0-12-803678-5.00434-3.
- 34. Fonkou MDM, Bilen M, Cadoret F, Fournier PE, Dubourg G, Raoult D. Enterococcus timonensis sp. nov., Actinomyces marseillensis sp. nov., Leptotrichia massiliensis sp. nov., Actinomyces pacaensis sp. nov., Actinomyces oralis sp. nov., Actinomyces culturomici sp. nov. and Gemella massiliensis sp. nov., new bacterial species isolated from the human respiratory microbiome. New Microbes New Infect. 2017;22:37–43. PMID: 29556407 https://doi.org/10.1016/j.nmni.2017.12.005.
- 35. Tønjum T. Neisseriales ord. nov. In: *Bergey's Manual of Systematics of Archaea and Bacteria*. John Wiley & Sons, Inc.; Bergey's Manual Trust, 2015. pp. 1–3. https://doi.org/10.1002/9781118960608.obm00079
- Dai D, Nanthkumar NN, Newburg DS, Walker WA. Role of oligosaccharides and glycoconjugates in intestinal host defense. J Pediatr Gastroenterol Nutr. 2000;30 Suppl 2:S23–33. PMID: 10749398.
- 37. Carlstedt-Duke B, Midtvedt T, Nord CE, Gustafsson BE. Isolation and characterization of a mucin-degrading strain of Peptostreptococcus from rat intestinal tract. Acta Pathol Microbiol Immunol Scand B. 1986;94(5):293–300. PMID: 3788570 https://doi.org/10.1111/j.1699-0463.1986.tb03056.x.
- 38. Shetty SA, Marathe NP, Lanjekar V, Ranade D, Shouche YS. Comparative genome analysis of Megasphaera sp. reveals niche specialization and its potential role in the human gut. *PLoS One*. 2013;8(11):e79353. PMID: 24260205 https://doi.org/10.1371/journal.pone.0079353
- Marchandin H, Jumas-Bilak E, Gay B, Teyssier C, Jean-Pierre H, Siméon de Buochberg M, et al. Phylogenetic analysis of some Sporomusa subbranch members isolated from human clinical specimens: description of Megasphaera micronuciformis sp. nov. *Int J Syst Evol Microbiol*. 2003;53(Pt 2):547–553. PMID: 12710625 https://doi.org/10.1099/ ijs.0.02378-0.

REFERENCES

- Dibirov MD, Isaev AI, Djadjiev AB, Ashimova AI, Ataev T. Role of correction of the syndrome of intestinal failure and abdominal hypertension in the prevention of infection of pancreatic necrosis. *Pirogov Russian Journal of Surgery*. 2016;(8):67 72. (In Russ.) https://doi. org/10.17116/hirurgia2016867-72
- 2. Rowland I, Gibson G, Heinken A, Scott K, Swann J, Thiele I, et al. Gut microbiota functions: metabolism of nutrients and other food components. *Eur J Nutr.* 2018;57(1):1–24. PMID: 28393285 https://doi.org/10.1007/s00394-017-1445-8
- Yu LC. Microbiota dysbiosis and barrier dysfunction in inflammatory bowel disease and colorectal cancers: exploring a common ground hypothesis. J Biomed Sci. 2018;25(1):79. PMID: 30413188 https://doi. org/10.1186/s12929-018-0483-8
- Yu LC, Wang JT, Wei SC, Ni YH. Host-microbial interactions and regulation of intestinal epithelial barrier function: From physiology to pathology. World J Gastrointest Pathophysiol. 2012;3(1):27–43. PMID: 22368784 https://doi.org/10.4291/wjgp.v3.i1.27
- Rooks MG, Garrett WS. Gut microbiota, metabolites and host immunity. Nat Rev Immunol. 2016;16(6):341–352. PMID: 27231050 https://doi. org/10.1038/nri.2016.42
- Koh A, De Vadder F, Kovatcheva-Datchary P, Bäckhed F. From Dietary Fiber to Host Physiology: Short-Chain Fatty Acids as Key Bacterial Metabolites. *Cell.* 2016;165(6):1332–1345. PMID: 27259147 https://doi. org/10.1016/j.cell.2016.05.041.
- Grootjans J, Lenaerts K, Buurman WA, Dejong CH, Derikx JP. Life and death at the mucosal-luminal interface: New perspectives on human intestinal ischemia-reperfusion. World J Gastroenterol. 2016;22(9):2760– 2770. PMID: 26973414 https://doi.org/10.3748/wjg.v22.i9.2760
- Ji Y, Luo X, Yang Y, Dai Z, Wu G, Wu Z. Endoplasmic reticulum stressinduced apoptosis in intestinal epithelial cells: a feed-back regulation by mechanistic target of rapamycin complex 1 (mTORC1). *J Anim Sci Biotechnol*. 2018;9:38. PMID: 29744053 https://doi.org/10.1186/s40104-018-0253-1
- Schellekens DH, Hundscheid IH, Leenarts CA, Grootjans J, Lenaerts K, Buurman WA, et al. Human small intestine is capable of restoring barrier function after short ischemic periods. World J Gastroenterol. 2017;23(48):8452–8464. PMID: 29358855 https://doi.org/10.3748/wjg. v23.i48.8452
- Manohar M, Verma AK, Venkateshaiah SU, Sanders NL, Mishra A. Pathogenic mechanisms of pancreatitis. World J Gastrointest Pharmacol Ther. 2017;8(1):10–25. PMID: 28217371 https://doi.org/10.4292/wjgpt. v8 i1 10
- 11. Lin R, Chen F, Wen S, Teng T, Pan Y, Huang H. Interleukin-10 attenuates impairment of the blood-brain barrier in a severe acute pancreatitis rat model. *J Inflamm (Lond)*. 2018;15:4. PMID: 29497350 https://doi.org/10.1186/s12950-018-0180-0
- Sertaridou E, Papaioannou V, Kolios G, Pneumatikos I. Gut failure in critical care: old school versus new school. *Ann Gastroenterol*. 2015;28(3):309–322. PMID: 26130136
- Reintam Blaser A, Malbrain ML, Starkopf J, Fruhwald S, Jakob SM, De Waele J, et al. Gastrointestinal function in intensive care patients: terminology, definitions and management. Recommendations of the ESICM Working Group on Abdominal Problems. *Intensive Care Med*. 2012;38(3):384–394. PMID: 22310869 https://doi.org/10.1007/s00134-011-2459-v
- Schmidt PN, Roug S, Hansen EF, Knudsen JD, Novovic S. Spectrum of microorganisms in infected walled-off pancreatic necrosis – impact on organ failure and mortality. *Pancreatology*. 2014;14(6):444–449. PMID: 25266641 https://doi.org/10.1016/j.pan.2014.09.001
- 15. Xiao H, Huang JH, Zhang XW, Ahmed R, Xie QL, Li B, et al. Identification of potential diagnostic biomarkers of acute pancreatitis by serum metabolomic profiles. *Pancreatology*. 2017;17(4):543–549. PMID: 28487129 https://doi.org/10.1016/j.pan.2017.04.015.
- Yu S, Xiong Y, Fu Y, Chen G, Zhu H, Mo X, et al. Shotgun metagenomics reveals significant gut microbiome features in different grades of acute pancreatitis. *Microb Pathog*. 2021;154:104849. PMID: 33781869 https:// doi.org/10.1016/j.micpath.2021.104849.
- Andrianova NV, Popkov VA, Klimenko NS, Tyakht AV, Baydakova GV, Frolova OY, et al. Microbiome-Metabolome Signature of Acute Kidney Injury. *Metabolites*. 2020;10(4):142. PMID: 32260384 https://doi. org/10.3390/metabo10040142
- Efimova D, Tyakht A, Popenko A, Vasilyev A, Altukhov I, Dovidchenko N, et al. Knomics-Biota – a system for exploratory analysis of human gut microbiota data. *BioData Min*. 2018;11:25. PMID: 30450127 https://doi. org/10.1186/s13040-018-0187-3
- Callahan BJ, McMurdie PJ, Rosen MJ, Han AW, Johnson AJ, Holmes SP. DADA2: High-resolution sample inference from Illumina amplicon data. *Nat Methods*. 2016;13(7):581–583. PMID: 27214047 https://doi. org/10.1038/nmeth.3869

- Horton NJ, Kleinman K. Using R and RStudio for Data Management, Statistical Analysis, and Graphics. New York: ImprintChapman and Hall/ CRC; 2015. https://doi.org/10.1201/b18151
- 21. Aitchison J. *The Statistical Analysis of Compositional Data*. London: Chapman and Hall; 1986. https://doi.org/10.1007/978-94-009-4109-0
- Gloor GB, Macklaim JM, Pawlowsky-Glahn V, Egozcue JJ. Microbiome Datasets are Compositional: and This is Not Optional. Front Microbiol. 2017;8:2224. PMID: 29187837 https://doi.org/10.3389/ fmicb.2017.02224
- Palarea-Albaladejo J, Martín-Fernández JA. ZCompositions R package for multivariate imputation of left-censored data under a compositional approach. *Chemometrics and Intelligent Laboratory Systems*. 2015;143:85– 96. https://doi.org/10.1016/j.chemolab.2015.02.019.
- 24. Villmones HC, Haug ES, Ulvestad E, Grude N, Stenstad T, Halland A, et al. Species Level Description of the Human Ileal Bacterial Microbiota. Sci Rep. 2018;8(1):4736. PMID: 29549283 https://doi.org/10.1038/s41598-018-23198-5
- Akshintala VS, Talukdar R, Singh VK, Goggins M. The Gut Microbiome in Pancreatic Disease. *Clin Gastroenterol Hepatol*. 2019;17(2):290–295. PMID: 30144522 https://doi.org/10.1016/j.cgh.2018.08.045
- 26. Yu J, Feng Q, Wong SH, Zhang D, Liang QY, Qin Y, et al. Metagenomic analysis of faecal microbiome as a tool towards targeted non-invasive biomarkers for colorectal cancer. *Gut.* 2017;66(1):70–78. PMID: 26408641 https://doi.org/10.1136/gutjnl-2015-309800.
- Osman KL, Jefferies JMC, Woelk CH, Devos N, Pascal TG, Mortier MC, et al. Patients with Chronic Obstructive Pulmonary Disease harbour a variation of Haemophilus species. *Sci Rep.* 2018;8(1):14734. PMID: 30282975 https://doi.org/10.1038/s41598-018-32973-3
- 28. Morton DJ, Hempel RJ, Whitby PW, Seale TW, Stull TL. An invasive Haemophilus haemolyticus isolate. *J Clin Microbiol*. 2012;50(4):1502–1503. PMID: 22301029 https://doi.org/10.1128/JCM.06688-11
- Saulnier DM, Riehle K, Mistretta TA, Diaz MA, Mandal D, Raza S, et al. Gastrointestinal microbiome signatures of pediatric patients with irritable bowel syndrome. *Gastroenterology*. 2011;141(5):1782–1791. PMID: 21741921 https://doi.org/10.1053/j.gastro.2011.06.072
- Dong Z, Chen B, Pan H, Wang D, Liu M, Yang Y, et al. Detection of Microbial 16S rRNA Gene in the Serum of Patients With Gastric Cancer. Front Oncol. 2019;9:608. PMID: 31338330 https://doi.org/10.3389/ fonc.2019.00608
- 31. Riegel P, Ruimy R, De Briel D, Prevost G, Jehl F, Bimet F, et al. Corynebacterium argentoratense sp. nov., from the human throat. *Int J Syst Bacteriol*. 1995;45(3):533–537. PMID: 8590681 https://doi.org/10.1099/00207713-45-3-533.
- 32. Fernández-Natal I, Sáez-Nieto JA, Rodríguez-Lázaro D, Valdezate-Ramos S, Parras-Padilla T, Medina MJ, et al. Phenotypic, molecular characterization, antimicrobial susceptibility and draft genome sequence of Corynebacterium argentoratense strains isolated from clinical samples. New Microbes New Infect. 2016;10:116–121. PMID: 26933505 https://doi.org/10.1016/j.nmni.2016.01.007
- Chhatwal GS, Graham R. Streptococcal Diseases. In: Quah SR (ed.). *International Encyclopedia of Public Health*. 2nd ed. Academic Press, 2017. pp. 87–97. https://doi.org/10.1016/B978-0-12-803678-5.00434-3.
- 34. Fonkou MDM, Bilen M, Cadoret F, Fournier PE, Dubourg G, Raoult D. Enterococcus timonensis sp. nov., Actinomyces marseillensis sp. nov., Leptotrichia massiliensis sp. nov., Actinomyces pacaensis sp. nov., Actinomyces oralis sp. nov., Actinomyces culturomici sp. nov. and Gemella massiliensis sp. nov., new bacterial species isolated from the human respiratory microbiome. *New Microbes New Infect*. 2017;22:37–43. PMID: 29556407 https://doi.org/10.1016/j.nmni.2017.12.005.
- 35. Tønjum T. Neisseriales ord. nov. In: *Bergey's Manual of Systematics of Archaea and Bacteria*. John Wiley & Sons, Inc.; Bergey's Manual Trust, 2015. pp. 1–3. https://doi.org/10.1002/9781118960608.obm00079
- Dai D, Nanthkumar NN, Newburg DS, Walker WA. Role of oligosaccharides and glycoconjugates in intestinal host defense. *J Pediatr Gastroenterol Nutr.* 2000;30 Suppl 2:S23–33. PMID: 10749398.
- Carlstedt-Duke B, Midtvedt T, Nord CE, Gustafsson BE. Isolation and characterization of a mucin-degrading strain of Peptostreptococcus from rat intestinal tract. *Acta Pathol Microbiol Immunol Scand B*. 1986;94(5):293–300. PMID: 3788570 https://doi.org/10.1111/j.1699-0463.1986.tb03056.x.
- 38. Shetty SA, Marathe NP, Lanjekar V, Ranade D, Shouche YS. Comparative genome analysis of Megasphaera sp. reveals niche specialization and its potential role in the human gut. *PLoS One*. 2013;8(11):e79353. PMID: 24260205 https://doi.org/10.1371/journal.pone.0079353
- 39. Marchandin H, Jumas-Bilak E, Gay B, Teyssier C, Jean-Pierre H, Siméon de Buochberg M, et al. Phylogenetic analysis of some Sporomusa subbranch members isolated from human clinical specimens: description of Megasphaera micronuciformis sp. nov. *Int J Syst Evol Microbiol*. 2003;53(Pt 2):547–553. PMID: 12710625 https://doi.org/10.1099/ijs.0.02378-0.

138

ИНФОРМАЦИЯ ОБ АВТОРАХ

Одинцова Вера Евгеньевна

Киселев Владимир Валерьевич кандидат медицинских наук, ведущий научный сотрудник отделения неотложной хирургии,

эндоскопии и интенсивной терапии ГБУЗ «НИИ СП им. Н.В. Склифосовского ДЗМ»;

https://orcid.org/0000-0002-0170-7775, kiselevvv@sklif.mos.ru;

25%: управление проектом, разработка концепции, дизайна и методологии исследования, проведение исследования и анализ полученных данных, подготовка и редактирование текста

статьи

Кошечкин Станислав Игоревич кандидат биологических наук, директор по науке 000 «Нобиас Технолоджис»;

https://orcid.org/0000-0002-7389-0476, st.koshechkin@gmail.com;

15%: управление, координация, планирование и проведение лабораторной части исследования

Куренков Алексей Валерьевич врач-эндоскопист отделения эндоскопии и внутрипросветной хирургии, ГБУЗ «НИИ СП им.

Н.В. Склифосовского ДЗМ»;

https://orcid.org/0000-0002-6617-1967, oky-doker@yandex.ru; 15%: разработка методологии и проведение исследования руководитель отдела анализа ООО «Нобиас Технолоджис»;

https://orcid.org/0000-0003-1897-4033, vera.odints@gmail.com;

15%: участие в статистической обработке данных и написание текста статьи

Жигалова Мария Сергеевна кандидат медицинских наук, старший научный сотрудник отделения неотложной хирургии,

эндоскопии и интенсивной терапии ГБУЗ «НИИ СП им. Н.В. Склифосовского ДЗМ»;

https://orcid.org/0000-0003-4520-1124, zhigalovams@sklif.mos.ru;

10%: разработка концепции и дизайна исследования, анализ полученных данных, подготовка и

редактирование текста статьи

Тяхт Александр Викторович кандидат биологических наук, научный сотрудник ФБГУН ИГБ РАН;

https://orcid.org/0000-0002-7358-2537, a.tyakht@gmail.com;

10%: участие в дизайне исследования, интерпретации результатов статистической обработки

данных и написании текста статьи

Петриков Сергеё Сергеевич член-корреспондент РАН, профессор, доктор медицинских наук, директор ГБУЗ «НИИ СП

им. Н.В. Склифосовского ДЗМ», заведующий кафедрой анестезиологии, реаниматологии и неотложной медицины Научно-образовательного института непрерывного профессионального

образования им. Н.Д. Ющука ФГБОУ ВО «Российский университет медицины» МЗ РФ;

https://orcid.org/0000-0003-3292-8789, petrikovss@sklif.mos.ru;

5%: консультирование и редактирование текста статьи

Ярцев Петр Андреевич профессор, доктор медицинских наук, заведующий научным отделением неотложной хирургии,

эндоскопии и интенсивной терапии ГБУЗ «НИИ СП им. Н.В. Склифосовского ДЗМ»;

https://orcid.org/0000-0003-1270-5414, yartsevpa@sklif.mos.ru;

5%: консультирование и редактирование текста статьи

Авторы заявляют об отсутствии конфликта интересов

Microbiome of the Initial Small Intestine in Patients With Severe Acute Pancreatitis: a Pilot Study

V.V. Kiselev¹ [™], S.I. Koshechkin², A.V. Kurenkov¹, V.E. Odintsova², M.S. Zhigalova¹, A.V. Tyakht³, S.S. Petrikov¹, ⁴, P.A. Yartsev¹

Department of Emergency Surgery, Endoscopy and Intensive Care

¹ N.V. Sklifosovsky Research Institute for Emergency Medicine

Bolshaya Sukharevskaya Sq. 3, Moscow, Russian Federation 129090

² Nobias Technologies

Berezovaya Alley Str., 14B, bldg. 2, pom. 2/4, Moscow, Russian Federation 127273

³ Institute of Gene Biology Russian Academy of Sciences

Vavilova Str., 34/5, Moscow, Russian Federation 119334

⁴ Russian University of Medicine, N.D. Yushchuk Scientific and Educational Institute of Continuous Professional Education

Dolgorukovskaya, St. 4, Moscow, Russian Federation 127006

☑ Contacts: Vladimir V. Kiselev, Candidate of Medical Sciences, Leading Researcher at the Department of Emergency Surgery, Endoscopy and Intensive Care of the N.V. Sklifosovsky Research Institute for Emergency Medicine. Email: kiselevvv@sklif.mos.ru

ABSTRACT Disruption of intestinal homeostasis is a leading factor in the pathogenesis and progression of systemic inflammation in patients with acute severe pancreatitis. The development of systemic complications occurs due to both mesenteric hypoperfusion and dysregulation of intestinal motility, as well as destruction of the intestinal barrier, with translocation of bacterial bodies and their substrates. This increases the risk of developing multiple organ failure and increased mortality. With the advent of high-throughput sequencing methods for microbiome samples, for example, in the 16S rRNA format, the possibilities for studying the structure of microbial communities have expanded significantly. In this regard, there is increasing evidence of the relationship between human health and the microflora inhabiting various parts of the body.

AIM OF THE STUDY Description of the microbiota composition of the initial sections of the small intestine in patients with severe acute pancreatitis.

MATERIAL AND METHODS The study included 7 patients with a diagnosis of severe acute pancreatitis (6 men, 1 woman), the average age was 54.1±14.4 years. Patients were divided into two groups. Group 1 (n=4) included patients admitted on the 2nd-4th day from the onset of a pain attack. Group 2 (n=3) included patients admitted no later than 24 hours from the onset of the disease. The bacterial composition of jejunal swab samples was studied using 16S RNA sequencing.

The severity of the condition was assessed using the integral APACHE II, SOFA, SAPS II scales. In patients of the main group, APACHE II was score 22±2.83, SOFA was score 6.8±0.5, SAPS II was score 32.9±6.4, in patients of the comparison group, APACHE II was score 18.0±3.7, SOFA was score 4.0±2.6, SAPS II was score 24.4±5.0

The material was collected at the time of insertion of a sterile multifunctional intestinal catheter behind the Treitz ligament, no later than 6 hours after admission to the intensive care unit. At the time of material collection, the patients did not receive antibacterial therapy or enteral nutrition.

RESULTS More severe disease was associated with reduced representation of Nesseria species in the microbiome mucosa and parvimonas micra, inhabiting the mucosal layer, as well as Megasphaera micronuciformis. The proportion of the genera Streptococcus (species S. rubneri / parasanguinis / australis) and Actinomyces and a number of genera from the Enterobacteriaceae family in such patients was, on the contrary, higher.

Keywords: intestinal lavage, microbiome, severe acute pancreatitis, saline enteral solution, intestinal barrier

For citation Kiselev VV, Koshechkin SI, Kurenkov AV, Odintsova VE, Zhigalova MS, Tyakht AV, et al. Microbiome of the Initial Small Intestine in Patients With Severe Acute Pancreatitis: a Pilot Study. Russian Sklifosovsky Journal of Emergency Medical Care. 2025;14(1):132–140. https://doi.org/10.23934/2223-9022-2025-14-1-132-140 (in Russ.)

Conflict of interest Authors declare lack of the conflicts of interests

Acknowledgments, sponsorship Sample preparation, sequencing and data analysis of microbiome samples was carried out by Nobias LLC. Technologies during a commercial project for LLC VneshPromPharm, a manufacturer of salt enteral solution (SER)

Affiliations

Vladimir V. Kiselev Candidate of Medical Sciences, Leading Researcher, Department of Emergency Surgery, Endoscopy and Intensive Care,

N.V. Sklifosovsky Research Institute for Emergency Medicine; https://orcid.org/0000-0002-0170-7775, kiselevvv@sklif.mos.ru;

25%, project management, development of the concept, design and methodology of the research, conducting the research and

analyzing the obtained data, preparing and editing the text of the article

Stanislav I. Koshechkin Candidate of Biological Sciences, Director for Science, Nobias Technologies;

https://orcid.org/0000-0002-7389-0476, st.koshechkin@gmail.com;

15%, management, coordination, planning and implementation of the laboratory part of the study

Alexey V. Kurenkov Physician and Endoscopist, Endoscopy and Intraluminal Surgery Department, N.V. Sklifosovsky Research Institute for Emergency

Medicine;

https://orcid.org/0000-0002-6617-1967, oky-doker@yandex.ru; 15%, development of methodology and implementation of research

Vera E. Odintsova Head of Analysis Department, Nobias Technologies;

https://orcid.org/0000-0003-1897-4033, vera.odints@gmail.com;

15%, participation in statistical data processing and writing the text of the article

Maria S. Zhigalova Candidate of Medical Sciences, Senior Researcher, Department of Emergency Surgery, Endoscopy and Intensive Care,

N.V. Sklifosovsky Research Institute for Emergency Medicine; https://orcid.org/0000-0003-4520-1124, zhigalovams@sklif.mos.ru;

10%, development of the concept and design of the study, analysis of the obtained data, preparation and editing of the text

of the article

Aleksandr V. Tyakht Candidate of Biological Sciences, Research Fellow, Institute of Gene Biology Russian Academy of Sciences;

https://orcid.org/0000-0002-7358-2537, a.tyakht@gmail.com;

10%, participation in the design of the study, interpretation of the results of statistical data processing and writing the text

of the article

Sergey S. Petrikov Corresponding Member of the RAS, Professor, Doctor of Medical Sciences, Director of N.V. Sklifosovsky Research Institute for

Emergency Medicine, Head of the N.D. Yushchuk Department of Anesthesiology, Resuscitation and Emergency Medicine of the Scientific and Educational Institute of Continuous Professional Education, Russian University of Medicine;

https://orcid.org/0000-0003-3292-8789, petrikovss@sklif.mos.ru;

5%, consulting and editing the text of the article

Pyotr A. Yartsev Professor, Doctor of Medical Sciences, Head of the Scientific Department of Emergency Surgery, Endoscopy and Intensive Care,

N.V. Sklifosovsky Research Institute for Emergency;

https://orcid.org/0000-0003-1270-5414, yartsevpa@sklif.mos.ru;

5%, consulting and editing the text of the article

Received on 28.03.2024 Review completed on 04.06.2024 Accepted on 24.12.2024 Поступила в редакцию 28.03.2024 Рецензирование завершено 04.06.2024 Принята к печати 24.12.2024